

厚生労働行政推進調査事業費補助金

厚生労働科学特別研究事業

(H30-特別-指定-005)

我が国の疾病負担に基づく医薬品、医療機器及び医療技術の開発等の資源配分の確立のための研究

平成 30 年度 研究報告書

代表研究者・渋谷健司

令和元(2019)年5月

目次

I. 総括研究報告

我が国の疾病負担に基づく医薬品、医療機器及び医療技術の開発等の資源配分の確立のための研究
..... 3

研究代表者 渋谷健司 東京大学大学院医学系研究科 国際保健政策学教室 教授
研究分担者 野村周平 東京大学大学院医学系研究科 国際保健政策学教室 助教
ミジャーヌール・ラハマン 東京大学大学院医学系研究科 国際保健政策学教室
特任助教

II. 分担研究報告

1. 我が国の疾病負担の将来測 11

研究分担者 渋谷健司 東京大学大学院医学系研究科 国際保健政策学教室 教授
野村周平 東京大学大学院医学系研究科 国際保健政策学教室 助教
研究協力者 米岡大輔 東京大学大学院医学系研究科 国際保健政策学教室 客員研究員
田中詩織 国立がん研究センター 予防研究部 特任研究員

2. 我が国の疾病負担と研究費配分 21

研究分担者 渋谷健司 東京大学大学院医学系研究科 国際保健政策学教室 教授
野村周平 東京大学大学院医学系研究科 国際保健政策学教室 助教
研究協力者 米岡大輔 東京大学大学院医学系研究科 国際保健政策学教室 客員研究員
田中詩織 国立がん研究センター 予防研究部 特任研究員

III. 参考資料

参考資料 1 図 1. 日本語病名、ICD10 対応表(ICD10 対応標準病名マスターより抜粋)
..... 35

参考資料 2 ICD10、GDB ラベル対応表 713

厚生労働行政推進調査事業費補助金（厚生労働科学特別研究事業）

「我が国の疾病負担に基づく医薬品、医療機器及び医療技術の開発等の資源配分の

確立のための研究」

（H30-特別-指定-005）

平成 30 年度総括研究報告書

総括研究報告書

主任研究者： 渋谷健司 東京大学大学院医学系研究科 国際保健政策学教室 教授

保健政策や研究開発における優先順位決定のためには、疾患別の死亡や障害、それらの原因となる危険因子に関するエビデンスが必須である。高齢化と疾病構造の転換が進み医療費が増大する中、世界保健機関（WHO）や世界各国は、死亡と障害による負荷を包括的に示す尺度である疾病負荷（disease burden）を政策や研究開発の重要な判断基準として活用している。しかし、我が国では疾病負荷に基づく研究・開発の優先順位決定に関する議論は未だ十分になされていない。本研究の目的は、これまでの国内外の疾病負荷研究に基づき、1）将来予測も念頭に入れた我が国の国内疾病負荷の推定と2）疾病分野別の研究開発費の関係の分析である。

我が国の公的研究開発費の総額は、英国などと比べても遜色がない。しかし、その配分は、主にこれまでのリソース配分を踏襲し、高齢化・疾病構造の変化を考慮に入れた疾病負荷による優先順位を反映していない。創薬・医療機器開発が効率的に行われるためには、国民の疾病負荷を把握し開発の優先順位を決定し、戦略的に対応していくことが必要である。

平均寿命/健康寿命は増大し、健康改善が進んでいる。しかし一方で、長寿者ほどより多くの障害を抱えて生活している（特に感覚・運動器）。全国的に死亡と障害の混合指標である DALYs（Disability-Adjusted Life Years）は上昇を続けている。特に変性疾患（アルツハイマー病）の負荷が全国的に増加し、その傾向は将来的より顕著になると見込まれる。一方で、公的研究開発費の配分は、必ずしも死亡や DALYs の大きさと関連しておらず、研究開発費の配分などの政策決定プロセスの中に費用対効果の視点を取り、疾病負荷を一つの指標として用い、有用な予防手段への積極的な投資を進めていくことが必要である。

A．研究目的

保健政策や研究開発における優先順位決定のためには、疾患別の死亡や障害、それらの原因となる危険因子に関するエビデンスが必須である。高齢化と疾病構造の転換が進み医療費が増大する中、世界保健機関（WHO）や世界各国は、死亡と障害による負荷を包括的に示す尺度である疾病負荷（disease burden）を政策や研究開発の重要な判断基準として活用している。しかし、我が国では、本研究申請者による先行研究¹以外には、疾病負荷に基づく研究・開発の優先順位決定に関する議論は未だ十分になされていない。我が国の公的研究開発費の総額は、英国などと比べても遜色がない。しかし、その配分は、主にこれまでのリソース配分を踏襲し、高齢化・疾病構造の変化を考慮に入れた疾病負荷による優先順位を反映していない。創薬・医療機器開発が効率的に行われるためには、国民の疾病負荷を把握し開発の優先順位を決定し、戦略的に対応していくことが必要である。

本研究の目的は、これまでの国内外の疾病負荷研究に基づき、1) 我が国の将来予測の将来推定と2) 我が国の疾病分野別の研究開発費の関係の分析である。研究申請者らは、国内外の疾病負荷研究を行ってきており、本研究を実施し成果を出すための体制が整っている。2018年度後半より次期健康・医療戦略の策定に向けた政府内での検討が予定されており、本研究の成果は、戦略の目的を達成するための効果的かつ効率的な2020年度以降の資源配分のエビデンスとしての活用が期待される。さらに、健康医療政策、特に、健康寿命の延伸に向けた施策に資するエビデンス形成のための基盤の確立が期待される。

B．研究方法

本研究は、現在進行中の世界と我が国の疾病負荷研究に基づき、我が国の医薬品、医療機器及び医療技術の研究開発に資するエビデンスを創出する。具体的な研究方法としては、1) 研究班員が実施している最新の疾病負荷研究を元に、性・年齢階級別に、疾病（および疾病グループ）別の2040年までの疾病負荷をモデル推計、さらに、2) 医薬品、医療機器及び医療技術の疾病分野別の研究開発費を推計し、それらと我が国の疾病負荷との関係を分析する、

疾病負荷の推計および将来予測には、世界の疾病負荷研究（Global Burden of Disease：GBD 2017）の最新推定値等を利用する。2040年における我が国の疾病負荷の予測推定値を得るため、1990年から2017年における障害調整生命年（DALYs：Disability-Adjusted Life Years）から一般化線形モデルを構築し、主要な疾患における2040年までの傾向予測と各年人口あたりの疾病負荷割合を推定する。疾患別研究費の分析に関しては、公的な研究開発費として代表的な厚生労働省科学研究費（厚労科研）、文部科学省科学研究費（JSPS）及び国立研究開発法人日本医療研究開発機構（AMED：Japan Agency for Medical Research and Development）の2015～2016年度における研究課題を対象に、疾患分類別の研究開発費を推

定する。比較対象としては、GBD2017 で推定された 2016 年における疾患分類別 DALYs 率、及び疾患分類別死亡率の分布割合を用いる。

C . 研究結果

1) 我が国の将来予測の将来推定

2040 年の DALYs rate は、2015 年比較で男性は 14.5%の増加、女性は 15.7%の増加が予想される。男女ともに 2040 年まで心血管疾患と腰痛は引き続き上位を占める。しかしながら、高齢化に伴いアルツハイマー病、転倒、難聴、さらに糖尿病、うつ病（女性）の上昇が予想される。新生物は全体的に低下し、特に男性においては呼吸器系のがん、女性においては乳がんの疾病負荷の減少が予想される。

2) 我が国の疾病負荷と研究費配分

約 2,169 億円（2015-2016 年）の公的研究開発費のうち、約 52%（1,132 億円）が疾患分類別に評価可能であった。新生物では研究費配分と疾病負荷の割合の順位が一致している一方、心血管疾患、慢性呼吸器疾患、糖尿病・腎疾患、筋骨格系傷害（DALYs）、交通傷害、自傷と暴力などは、疾病負荷の大きさに比べ研究費配分が少ない。他方、その他の感染症、消化器疾患、その他の非感染症は多い傾向が見られる。疾病構造や疾病負荷の傾向及び将来推計に対応して、今後の我が国における研究費配分について検討していく必要がある。

D . 考察

我が国は 1989 年から一貫して世界第 1 位あるいは第 2 位の平均寿命を誇っているが（シンガポールに 2010 年に逆転）、これは特に心血管疾患及び悪性新生物による死因が減少したことが大きい。しかしながら、2005 年を境に年齢調整死亡率・DALYs とともに減少のスピードは鈍化を見せている。

全世界的に共通であるが過去 25 年の間に死亡率は大きな減少を見せた。我が国においてもその傾向は同じであるが、他方、主要死因については依然として脳血管疾患・心血管疾患・呼吸器系感染症となっている。言い換えれば、我々はこれら主要死因に対する方策をさらにスケールアップすることが必要である。しかし一方で、長寿者ほどより多くの障害を抱えて生活しており（特に感覚・運動器）、さらに変性疾患（アルツハイマー病）の負荷が全国的に著しく、将来的にその傾向は顕著になることが予想されるため、喫緊な対応が求められる。同時に、公的研究開発費の配分などの政策決定プロセスの中に費用対効果の視点を取り、疾病負荷を一つの指標として用い、有用な予防手段への積極的な投資を進めていくことが必要である。

また、より開かれた透明性の高い保健政策立案に向けたエビデンス形成のための保健シス

テム評価基盤の強化を目的とし、最新の疾病負荷をデータビジュアライゼーションのウェブサイト MEDITECH FINDER (<https://meditechfinder.org/>) に掲載し、広く一般公開を行った。

E . 結論

平均寿命/健康寿命は増大し、健康改善が進んでいる。しかし一方で、長寿者ほどより多くの障害を抱えて生活している（特に感覚・運動器）。また全国的に DALYs は上昇を続けている。特に変性疾患（アルツハイマー病）の負荷が全国的に増加し、その傾向は将来的より顕著になると見込まれる。一方で、公的研究開発費の配分は、必ずしも死亡や DALYs の大きさと関連しておらず、研究開発費の配分などの政策決定プロセスの中に費用対効果の視点を取り、疾病負荷を一つの指標として用い、有用な予防手段への積極的な投資を進めていくことが必要である。

F . 健康危険情報

特になし

G . 研究発表

1. 論文発表

特になし

2. 学会発表

特になし

H . 知的財産権の出願・登録状況

（予定を含む。）

1. 特許取得

特になし

2. 実用新案登録

特になし

3. その他

特になし

参考文献

1. Nomura S, Sakamoto H, Glenn S, et al. Population health and regional variations of disease burden in Japan, 1990-2015: a systematic subnational analysis for the Global Burden of Disease Study 2015. *Lancet* 2017; 390(10101): 1521-38.

厚生労働行政推進調査事業費補助金（厚生労働科学特別研究事業）

「我が国の疾病負担に基づく医薬品、医療機器及び医療技術の開発等の資源配分の
確立のための研究」

（H30-特別-指定-005）

平成 30 年度分担研究報告書

我が国の疾病負担の将来予測

研究分担者	渋谷健司	東京大学大学院医学系研究科 国際保健政策学教室 教授
	野村周平	東京大学大学院医学系研究科 国際保健政策学教室 助教
研究協力者	米岡大輔	東京大学大学院医学系研究科 国際保健政策学教室 客員研究員
	田中詩織	国立がん研究センター 予防研究部 特任研究員

研究要旨

人口動態や疾病構造が刻々と変化していくなか、疾病負担の傾向に基づいて多様な公衆衛生上の課題を解決し国民の健康に資することが必要である。世界の疾病負担研究で開発された死亡と障害を包括的に数値化した障害調整生命年(DALYs : Disability-Adjusted Life Years) が、国際的に保健政策立案や保健指標に活用されている。将来の疾病構造やそれに伴う国民の疾病負担について予測し、予防策を講じることや研究開発の優先順位付けをすることは必須である。

本研究は、我が国の DALYs に基づく疾病負担の将来推計を行うことで保健政策立案に資することを目的とする。1990 年から 2017 年まで推計された日本における疾患別 DALYs rate を用いて、2040 年までの疾病負担の変化及び上位 20 疾患を予測する。予測には自己回帰和分移動平均モデル (Auto Regressive Integrated Moving Average model: ARIMA model) を用い、社会人口指数 (SDI : Socio-demographic Index) 体格指数 (BMI) 喫煙状況、飲酒状況を共変数としてモデルに投入することで将来推計値を算出した。

DALYs rate の予測推計値より、非感染性疾患による疾病負担増加する傾向であった。男女ともにアルツハイマー病、腰痛、転倒、老人性難聴などの高齢化に伴う疾病による負担が増加すると推測される。今研究結果より保健政策や医療技術の開発に対する優先順位付けおよび資源配分に資することが期待される。

A．研究目的

国民の主要な疾病負荷やその変遷を把握することは、保健政策や保健分野における課題解決のためにも必要不可欠である¹。世界の疾病負荷（GBD：Global Burden of Disease）は、保健指標や保健政策立案のための戦略ツールとして国際的に活用されており、様々な疾病や外傷及びそれに関連した危険因子による健康損失を、包括的に比較することが可能である。

最新の GBD 研究（GBD2017）は Institute of Health Metrics and Evaluation（IHME）を主軸として多くの研究機関が連携して行われ、最新の推計は 2018 年に発表された（GBD 2017）、2017 年までの損失生存年数（YLL：Years of Life Lost）、障害生存年数（YLDs：Years of Life Lost to Disability）及び障害調整生命年（DALYs：Disability-Adjusted Life Years）による疾病負荷を推計し、持続可能開発目標（SDGs：Sustainable Development Goal）の達成可能性等について評価している。また、195 カ国のデータを使い、2040 年までの世界の疾病負荷について将来予測推計値を算出している。これらの研究によると、高所得国では非感染性疾患による疾病負荷が増加する見込みである。この背景には高血圧や喫煙などの生活習慣や代謝に関連する要因が原因であると推察されている¹。

我が国は疾病構造や人口動態の変遷によって、感染症から非感染性疾患へ、少子高齢化へと移行している。2017 年に発表された 2015 年までの日本及び都道府県別疾病負荷は、虚血性心疾

患、腰痛、脳卒中、アルツハイマー病など非感染性疾患による国民の疾病負荷が増大している²。医療政策の改善や医療技術の進歩によって障害とともに長期生存可能となった一方で、増大する社会医療費に対応するための持続可能な保健医療システムの構築が必須である。国民の疾病負荷の傾向について把握することは、今後の保健政策策定や研究開発における優先度付け、資源配分を決定するうえで非常に重要な指標となりうる。しかし、日本における将来の疾病負荷に関する研究は発表されていない。

本研究では、既存のデータを使用して我が国の疾病負荷の将来推計をすることで、疾病負荷がどのように変化し、それに伴い我が国の疾病構造の変化に対応する今後の保健政策立案に資することを目的とする。

B．研究方法

我が国における DALYs の推計値は IHME のホームページから入手可能である（<http://www.healthdata.org/>）。日本における DALYs の将来推計を行うために、1990 年から 2017 年までの、人口 100,000 人あたりの DALYs（DALYs rate）を使用した。対象疾患は 22 疾患（レベル 2）と 169 疾患（レベル 3）とした。

調整変数として日本における社会人口指数（SDI：Socio-demographic Index）¹、体格指数（BMI）、喫煙状況、飲酒状況を採用した。SDI は合計特殊出生率、教育歴、一人当たりの分配所得格差からなる複合的な指標で、健康アウトカ

ムと強い相関を持つとされている¹。最新のGBD研究論文から、日本における1990年から2017年までのSDIを入手した。また、1990年から2016年までの国民健康栄養調査のデータを使用し、男女別のBMI平均値、現在喫煙者の割合、現在飲酒者の割合を算出した。

分析方法は、自己回帰和分移動平均モデル(Auto Regressive Integrated Moving Average model: ARIMA model)によって将来予測値を推計した。まず、SDI、BMI平均値、現在喫煙割合、現在飲酒割合について2040年までの将来推計値を得た。この推計値はDALYsの将来予測分析の際に共変量として使用した。

22疾患(レベル2)の分析において、非感染性疾患についてはSDI、BMI平均値、現在喫煙割合、現在飲酒割合を調整因子として、感染性疾患及び外因性要因については、SDIのみ調整因子としてモデルに投入した。169疾患(レベル3)の分析において、22疾患(レベル2)と同様に調整した。自己回帰と移動平均の次数及び差分は、赤池情報量規準(AIC: Akaike's Information Criterion)を用いて選択した。2040年までのDALYs rateの将来推計を行い、22疾患(レベル2)については各疾病分類の5年毎のDALYs rateの推計値を比較し、169疾患(レベル3)については2015年と2040年各年の上位20疾患を比較し、変化率を算出した。

C. 研究結果

1) 22疾患別(レベル2)にみたDALYsの将来推

計値の比較

2040年までのDALYs rate推計値より、男性では全DALYs rateが14.5%増加した(図1)。2015年と比較して、2040年では不慮の事故、感覚器疾患、筋骨格系障害、糖尿病と腎疾患、神経学的障害、慢性呼吸器疾患、新生物、呼吸器感染症と結核のDALYsが増加した。一方で、交通傷害、その他の非感染性疾患、その他の感染症、栄養欠乏、母体および新生児障害、NTD(顧みられない熱帯病)+マラリア、HIV/エイズと性感染症のDALYsが減少した。

女性で2040年までに全DALYs rateが15.8%増加した。(図2)。不慮の事故、交通傷害、感覚器疾患、筋骨格系障害、糖尿病と腎疾患、神経学的障害、消化器疾患、慢性呼吸器疾患、新生物、呼吸器感染症と結核のDALYsが増加した。一方で、自傷と暴力、その他の非感染性疾患、その他の感染症、栄養欠乏、母体および新生児障害、NTD+マラリアのDALYsが減少した。

2) 169疾患別(レベル3)にみたDALYsの順位の変化と変化率

2015年と2040年のDALYs rateを比較すると、男性では大きくはアルツハイマーの疾病負荷の増加が顕著であった(図3)。また、高齢化に伴う6位の難聴、7位の転倒、そして8位の糖尿病、の伸びが顕著である。2015年に4位であった肺がんのリスクはだいぶ下がり、これはおそらく、最近の喫煙率の低下の影響が大きいと思われる。2040年まで心血管疾患と腰痛は引き続き上位を占めると予想される。

女性においても男性と同じく、やはりアルツハイマーの疾病負荷の増加が顕著であった(図4)。他にも高齢化に伴う難聴、転倒、そして糖尿病、女性においては特にうつ病も増える見込みがある。さらに、女性の場合は乳がんにより DALYs が著しく下がる見込みがある。男性同様、2040年まで心血管疾患と腰痛は引き続き上位を占めると予想される。

D．考察

以上、本研究の DALYs rate の将来推計結果より、疾病負荷の傾向や疾病構造には男女差がみられた。2040年の DALYs rate は、2015年比較で男性は14.5%の増加、女性は15.7%の増加が予想される。男女ともに2040年まで心血管疾患と腰痛は引き続き上位を占める。しかしながら、高齢化に伴いアルツハイマー病、転倒、難聴、さらに糖尿病、うつ病(女性)の上昇が予想される。新生物は全体的に低下し、特に男性においては呼吸器系のがん、女性においては乳がんの疾病負荷の減少が予想される。

男女ともに高齢化に伴う疾病負荷が増加すると推測される。平均寿命の延伸や慢性疾患の増加に伴い、長期継続的な医療サービスの需要や社会保障費が増大することが予測される。持続可能な保健医療システムを構築するためにも、国民の疾病負荷の傾向について把握し、健康寿命延伸のための予防策を講じることや研究開発を含む資源の有効的な活用が求められるだろう。

E．結論

疾病構造や国民の疾病負荷の傾向は、特に高齢化によって変化していくと推測される。今回の推計値によって保健政策や医療分野における研究開発における優先順位付けおよび資源配分決定に資することが期待される。

F．健康危険情報

特になし

G．研究発表

H．知的財産権の出願・登録状況

(予定を含む。)

1. 特許取得

特になし

2. 実用新案登録

特になし

3. その他

特になし

参考文献

1. Foreman, Kyle J et al. Forecasting life expectancy, years of life lost, and all-cause and cause-specific mortality for 250 causes of death: reference and alternative scenarios for 2016-40 for 195 countries and territories The Lancet, Volume 392 , Issue 10159 , 2052 - 2090

2. Nomura, Shuhei et al. Population health and regional variations of disease burden in Japan, 1990-2015: a systematic subnational analysis for the Global Burden of Disease Study 2015. *The Lancet*, Volume 390, Issue 10101 , 1521 - 1538

3. Gakidou, Emmanuela et al. Global, regional, and national comparative risk assessment of 84 behavioural, environmental and occupational, and metabolic risks or clusters of risks, 1990-2016: a systematic analysis for the Global Burden of Disease Study 2016. *The Lancet*, Volume 390 , Issue 10100 , 1345 - 1422

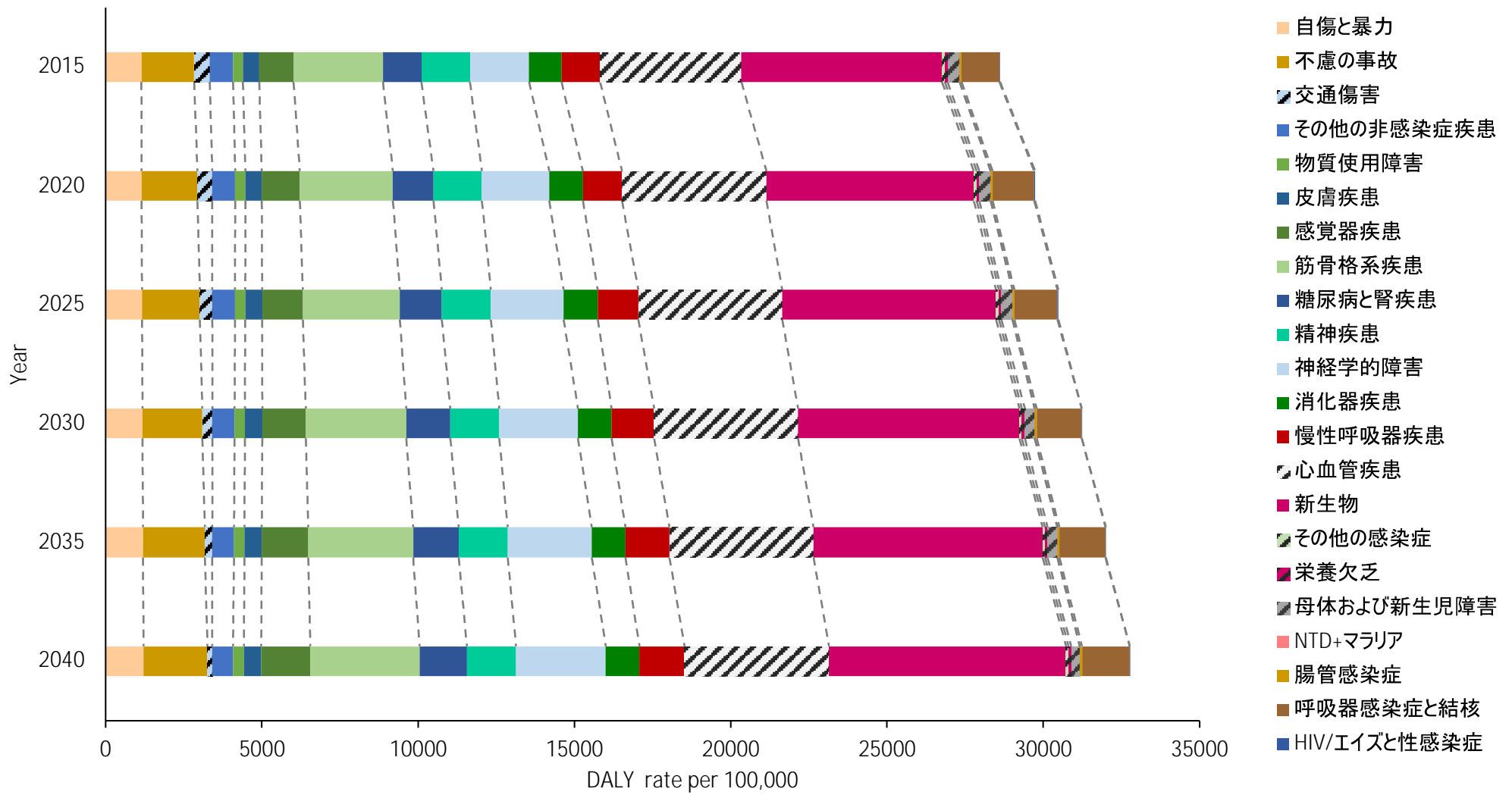


図1 22疾患別（レベル2）DALYs rateの将来推計割合（男性）

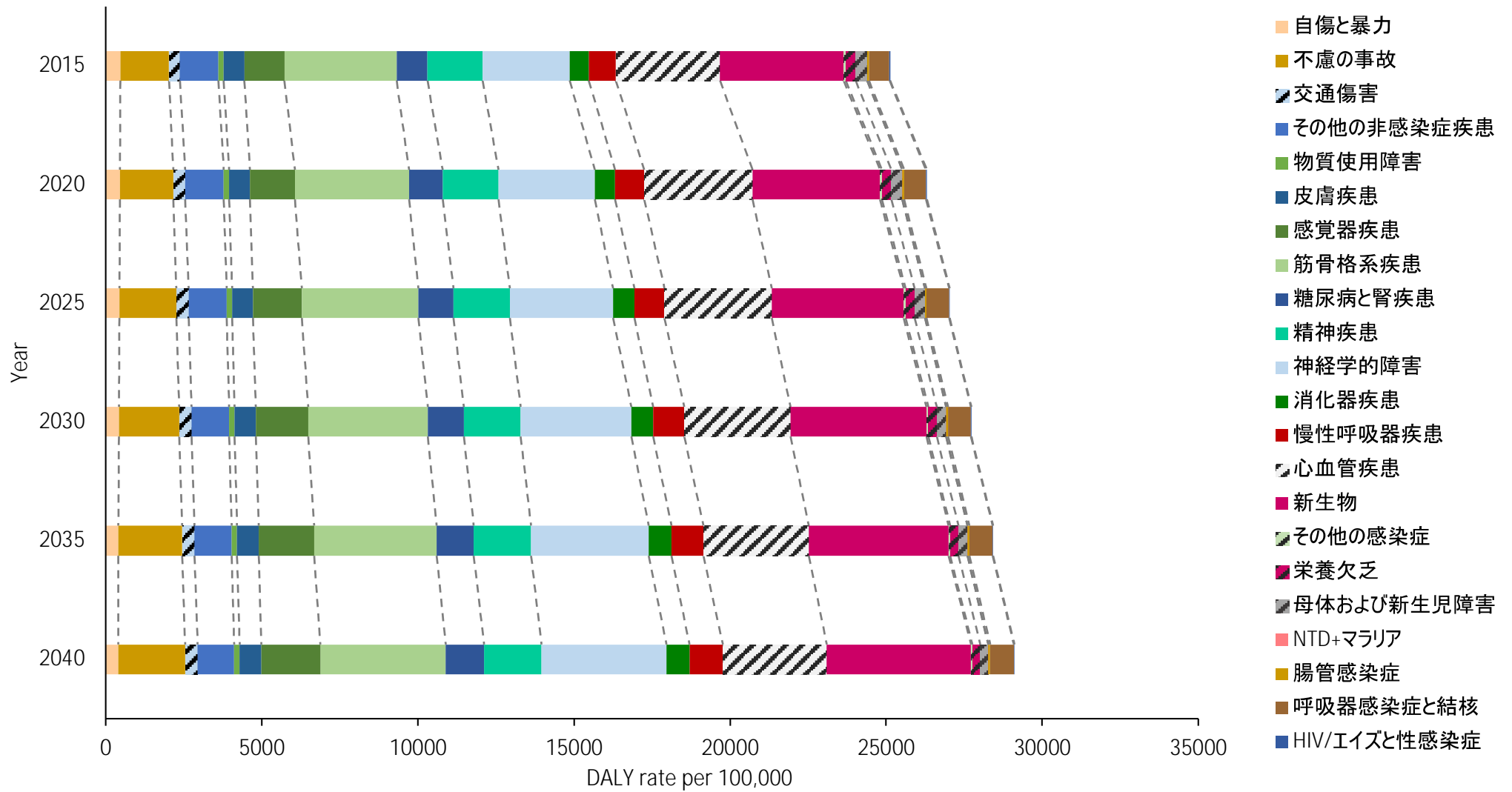


図2 22疾患別（レベル2）DALYs rateの将来推計割合（女性）

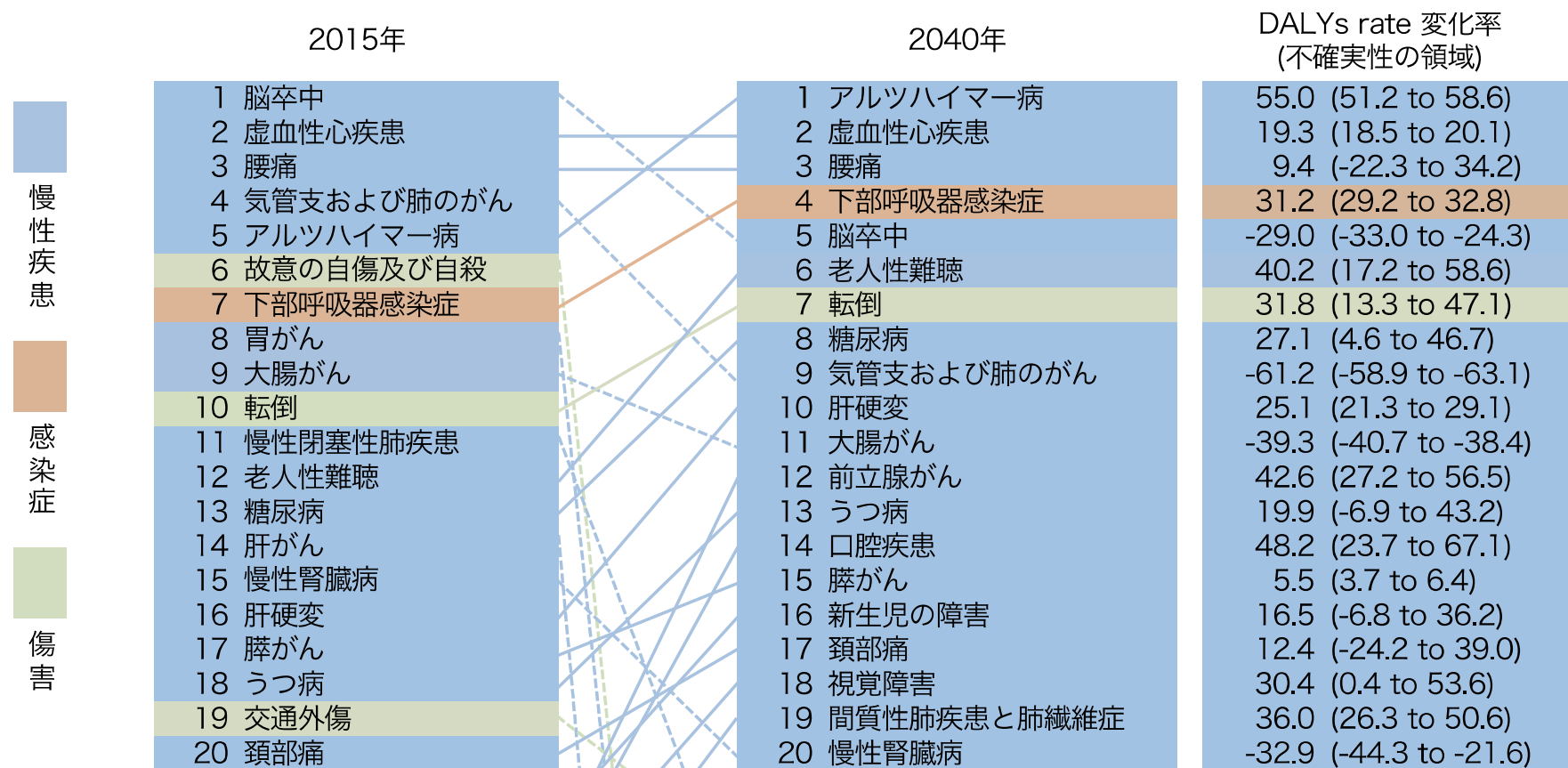


図3 169疾患別（レベル3）DALYs rateの将来推計値に基づく上位20疾患（男性）2015年と2040年の比較

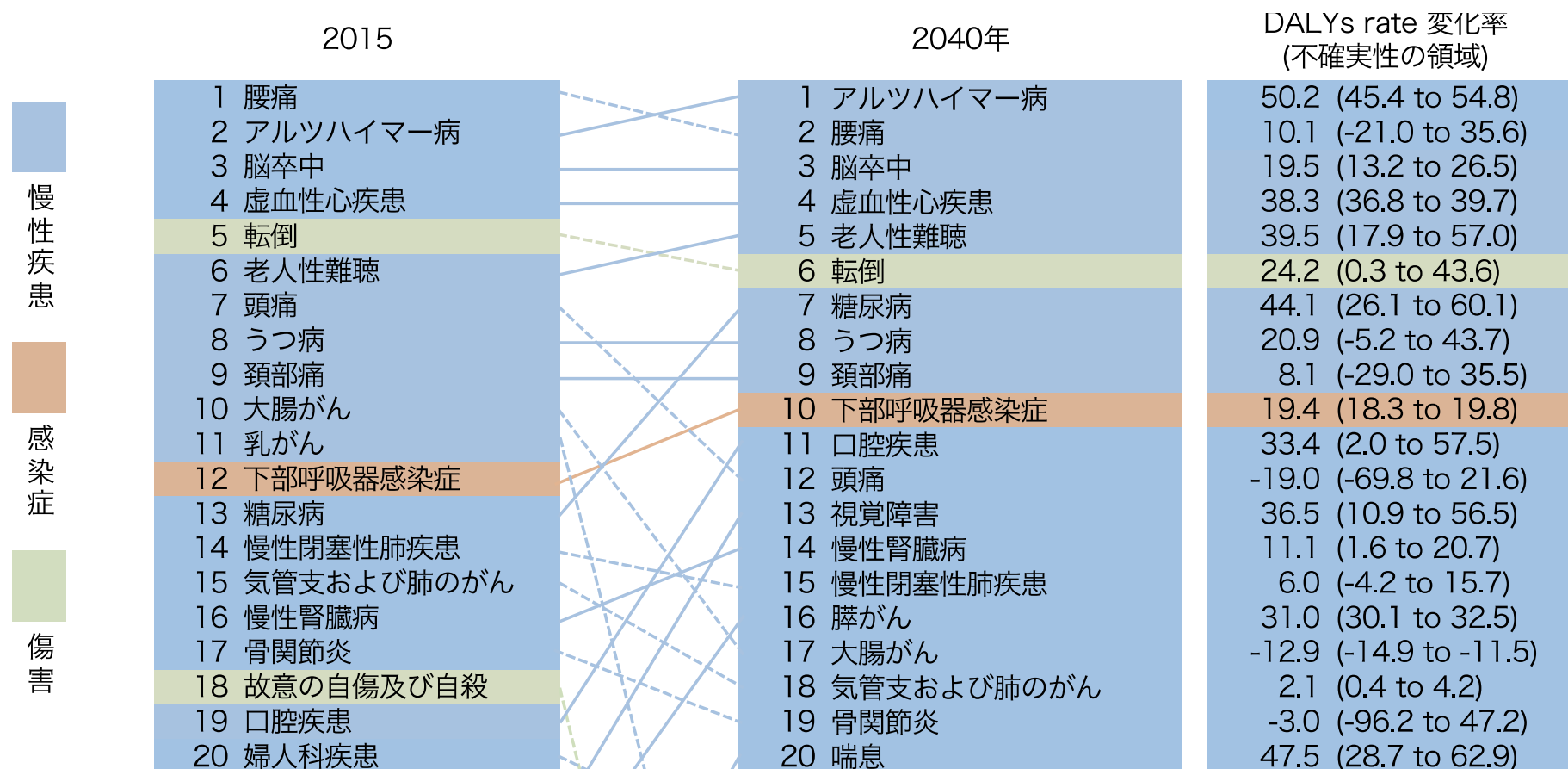


図4 169疾患別(レベル3)DALYs rateの将来推計値に基づく上位20疾患(女性)2015年と2040年の比較

厚生労働行政推進調査事業費補助金（厚生労働科学特別研究事業）

「我が国の疾病負担に基づく医薬品、医療機器及び医療技術の開発等の資源配分の
確立のための研究」

（H30-特別-指定-005）

平成 30 年度分担研究報告書

我が国の疾病負荷と研究費配分

研究分担者	渋谷健司	東京大学大学院医学系研究科 国際保健政策学教室 教授
	野村周平	東京大学大学院医学系研究科 国際保健政策学教室 助教
研究協力者	米岡大輔	東京大学大学院医学系研究科 国際保健政策学教室 客員研究員
	田中詩織	国立がん研究センター 予防研究部 特任研究員

研究要旨

人口レベルの保健ニーズと研究開発がマッチしないことは大きな課題であり、研究開発の優先順位付けには分野別の疾病負荷と研究開発投入額について分析することが必要である。本研究は、日本における公的な研究開発費と分野別の疾病負荷の関連について分析を行うことで、我が国の保健領域での研究開発の優先順位付けに資する科学的根拠を創出することを目的とする。

公的な研究開発費として代表的な厚生労働省科学研究費、文部科学省科学研究費（JSPS）及び国立研究開発法人日本医療研究開発機構（AMED：Japan Agency for Medical Research and Development）の 2015～2016 年度における新規採択課題を対象に、研究開発費と疾患分類について死亡率または障害調整生命年（DALYs：Disability-Adjusted Life Years）の側面について分析を行った。約 2,169 億円（2015-2016 年）の公的研究開発費のうち、約 52%（1,132 億円）が疾患分類別に評価可能であった。新生物では研究費配分と疾病負荷の割合の順位が一致している一方、心血管疾患、慢性呼吸器疾患、糖尿病・腎疾患、筋骨格系傷害（DALYs）、交通傷害、自傷と暴力などは、疾病負荷の大きさに比べ研究費配分が少ない。他方、その他の感染症、消化器疾患、その他の非感染症は多い傾向が見られる。疾病構造や疾病負荷の傾向及び将来推計に対応して、今後の我が国における研究費配分について検討していく必要がある。

A．研究目的

医療政策や医療技術の進歩に伴い、感染症から非感染性疾患へと疾病構造が変遷するなかで、平均寿命の延伸だけでなく健康寿命の延伸やその格差の縮小が注目されている。効率的な保健政策立案や保健医療技術の研究開発における優先時順位を決定するためには、死亡や障害による国民の疾病負荷や、それらの原因となる危険因子に関する科学的根拠が必須となる。世界の疾病負荷（GBD：Global Burden of Disease）は、死亡と障害を包含した研究を展開しており、国際的にも保健政策や研究開発の視点で重要な指標及び判断基準として活用されている。

最新の疾病負荷を推定した GBD2017 は各都道府県別の疾病負荷について分析しており、この数値を基に都道府県レベルで疾病負荷の比較や政策決定のための指標を提示した²。しかし、疾病負荷に関する日本および都道府県レベルの分析は十分になされているとは言えない。さらに、保健政策や研究開発分野においても疾病負荷に基づいた優先順位付けや資源配分等の議論はほとんど展開されていない。

医薬・医療技術開発が効率的に行われるためには、国民の疾病負荷を分析することで戦略的に対応していくことが必要である。以上に鑑み、本研究は公的な研究開発費として代表的な厚生労働省科学研究費（厚労科研）、文部科学省科学研究費（JSPS）及び国立研究開発法人日本医療研究開発機構（AMED：Japan Agency for Medical Research and Development）の2015～2016年度における新規採択課題を対象に、研究開発費と疾患分類について死亡率または障害調整生命年（DALYs：Disability-Adjusted Life Years）の側面について分析を行う。それにより日本の研究開発費と疾病負荷との関連について分析することで、我が国の医療研究開発に資する科学的根拠を創出することを目的とする。

B．研究方法

本研究は、国内の医療研究開発のための公的資金である厚労科研、AMED、JSPSの研究費を疾病負荷の要因別に分類し集計する。

まず、各研究費データベースより、「予算年度」、「研究費」、「研究分野」、「研究課題名」、「研究要旨」、「研究成果」等をテキスト形式で入手する。次に、一般財団法人医療情報システム開発センターが公表する ICD10 対応標準病名マスターを用いて、ICD10 コードと日本語病名の対応表を作成する（参考資料 1）。これを用いて、自然言語処理を行うことにより、各研究に対して対応する ICD10 コードラベルを付与する。具体的には、「研究課題名」、「研究要旨」、「研究成果」の文章中より、単語レベルでのマッチングを行い、最頻出単語をその研究の ICD10 コードラベルとする。また、ある単語が同頻度であった場合、研究課題名、研究要旨、研究成果の順に優先度をつける。また各文章中では、先出の単語ほど高い優先度を付

けることとする。なお、 の対応表に掲載されていない単語や表記の揺れなどは、その他、としてラベリングする。

次に、Institute of Health Metrics and Evaluation (IHME)の定めた、 ICD10 コードと GBD level 2 (22 疾患) の疾患分類対応表に基づき、 ICD10 コードと GBD 疾患分類の対応表を作成する(参考資料 2)。これを用いて、各研究がどの疾患分類に注目しているのかをラベリングする。 において対応付けがされていない ICD10 コード(R00-R99 症状, 徴候及び異常臨床所見・異常検査所見で他に分類されないもの; Z00-Z99 健康状態に影響を及ぼす要因及び保健サービスの利用; U00-U99 特殊目的用コード; Y10-Y34 不慮か故意か決定されない事件)は、その他、としてラベリングする。

最後に、各研究の研究費配分額を、上記の方法でラベリングした GBD 疾患分類に基づき、厚労科研、AMED、JSPS、厚労科研 + AMED + JSPS ごとに可視化する。比較対象としては、GBD2017 で推定された 2016 年における疾患分類別 DALYs 率、及び疾患分類別死亡率の分布割合を用いる^{1,2}。

C . 研究結果

1) 文字情報からの ICD10 コードラベリング

研究の第一段階として、各データベースにある「研究課題名」、「研究要旨」、「研究成果」等の文字列データより各研究の ICD10 コードの予測を行った。その際、明確に病名記載されていないものや、記載されていても ICD10 に基づいた表記方法ではない場合、その他、に分類されるが、その割合が厚労科研: 66.7%, AMED: 42.1%, JSPS: 53.4%と、大部分を占めることが判明した。

2) 個別研究費と DALYs および死亡割合との関連

厚労科研において、研究費の割合と DALYs 及び死亡割合を比較すると、DALYs 及び死亡割合において第 1 位新生物の研究費配分の割合(5.8%)が低いことが判明した。これは後述の AMED や JSPS とは異なった傾向である。心血管疾患、慢性呼吸器疾患、糖尿病・腎疾患、筋骨格系傷害(DALYs)、交通傷害、自傷と暴力などは、疾病負荷の大きさに比べ研究費配分が少ない。その一方で消化器疾患、その他の感染症疾患及びその他の非感染症疾患の研究費割合(それぞれ 14.1%、9.2%、16.2%)が高いことがわかる(図 1)。

AMED において、研究費の割合と DALYs 及び死亡割合を比較すると、DALYs 及び死亡割合において第 1 位である新生物の研究費配分の割合(34.1%)と釣り合いが取れていることが判明した。心血管疾患、慢性呼吸器疾患、糖尿病・腎疾患、筋骨格系傷害(DALYs)、交通傷害、自傷と暴力などは、疾病負荷の大きさに比べ研究費配分が少ない。一方、やはり消化器疾患、

その他の感染症疾患及びその他の非感染症疾患の研究費割合(それぞれ 7.4%、3.1%、8.8%)が高いことがわかる(図 2)。

JSPS において、研究費の割合と DALYs 及び死亡割合を比較すると、DALYs 及び死亡割合において第 1 位である新生物の研究費配分の割合(30.3%)と釣り合いが取れていることが判明した。心血管疾患、慢性呼吸器疾患、筋骨格系傷害(DALYs)、交通傷害、自傷と暴力などは、疾病負荷の大きさに比べ研究費配分が少ない。一方、厚労科研やAMED同様、やはり消化器疾患、その他の感染症疾患及びその他の非感染症疾患の研究費割合(それぞれ 7.7%、2.9%、8.1%)が高いことがわかる(図 3)。

3) 全体の研究費と DALYs および死亡割合との関連

約 2,169 億円(2015-2016 年)の公的研究開発費のうち、約 52%(1,132 億円)が疾患分類別に評価可能であった。研究開発費の割合と DALYs 及び死亡割合を比較すると(図 4)、新生物では研究費の割合が 31.8%と最も高く、これは DALYs 及び死亡割合の順位と合致する。心血管疾患、慢性呼吸器疾患、糖尿病・腎疾患、筋骨格系傷害(DALYs)、交通傷害、自傷と暴力などは、疾病負荷の大きさに比べ研究費配分が少ない。他方、その他の感染症、消化器疾患、その他の非感染症は多い傾向が見られる。これらの結果は個別研究費と DALYs および死亡割合との関連と同じ傾向である。

D . 考察

以上分析結果より、以下のように考察を述べる。

我が国では政策決定の判断基準として死亡率や罹患率を用いることが多いが、疾病構造の変化や慢性化、高齢化によって必ずしも死亡のみのインパクトのみが国民の DALYs の中核であるとは言えないと考えられる。

本研究において、新生物においては、研究費割合と DALYs 及び死亡割合は比較的釣り合いが取れていることがわかった。しかしながら、公的研究開発費の配分は、必ずしも死亡や DALYs の大きさと関連していない。心血管疾患、慢性呼吸器疾患、糖尿病・腎疾患、筋骨格系傷害(DALYs)、交通傷害、自傷と暴力などは、疾病負荷の大きさに比べ研究費配分が少ない。他方、その他の感染症、消化器疾患、その他の非感染症は多い傾向が見られた。

E . 結論

疾病構造や DALYs が変化する一方、日本の費のバランスが、必ずしもつり合いがとれていないことが分かった。公的研究開発費の配分、特に疾患別応用研究に関しては、疾病負荷を一つの指標として用いることが期待される。

F . 健康危険情報

特になし

G . 研究発表

H . 知的財産権の出願・登録状況

(予定を含む。)

1. 特許取得

特になし

2. 実用新案登録

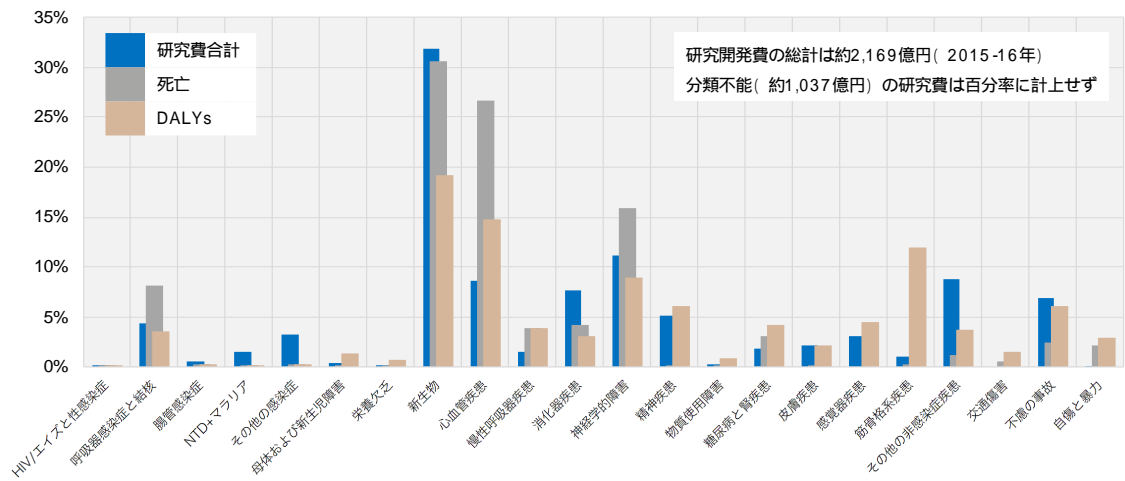
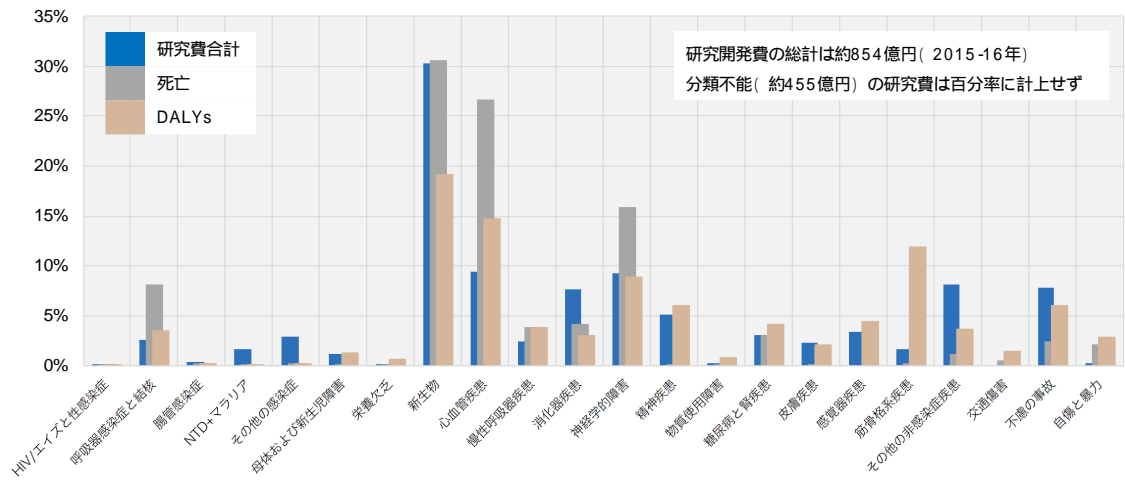
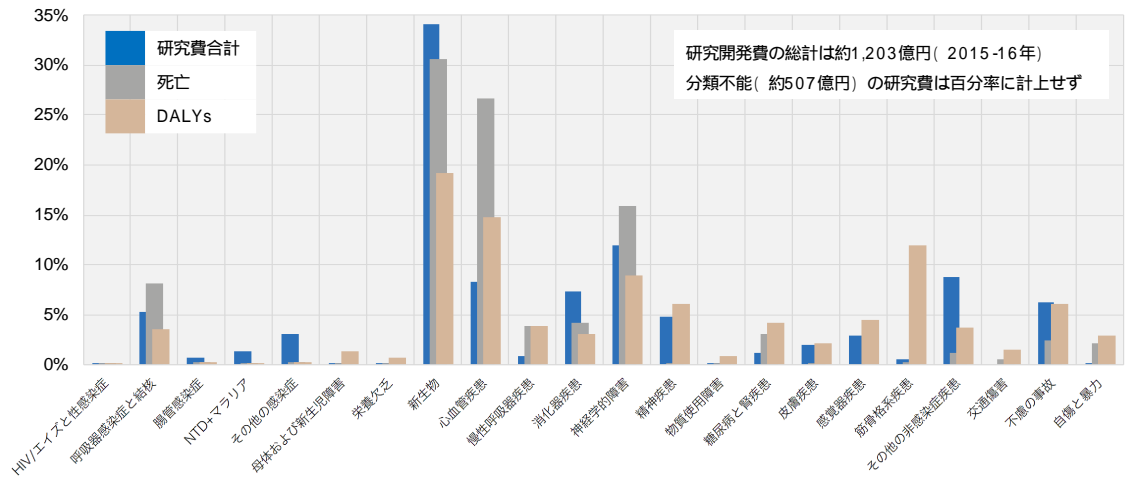
特になし

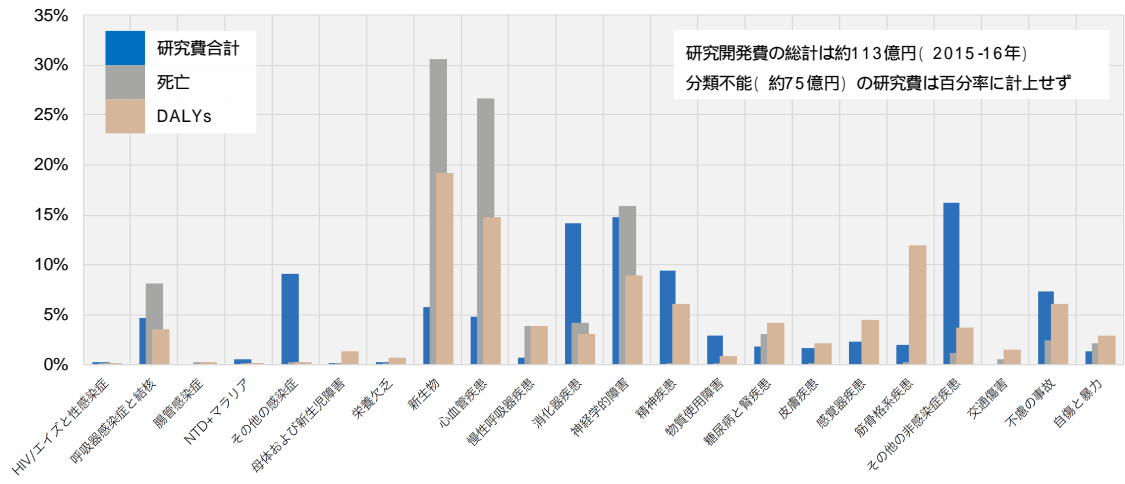
3. その他

特になし

参考文献

1. GBD 2017 DALYs and HALE Collaborators. Global, regional, and national disability-adjusted life-years (DALYs) for 359 diseases and injuries and healthy life expectancy (HALE) for 195 countries and territories, 1990-2017: a systematic analysis for the Global Burden of Disease Study 2017. The Lancet 2018; 392(10159): 1859-922.
2. GBD 2017 Mortality Collaborators. Global, regional, and national age-sex-specific mortality and life expectancy, 1950-2017: a systematic analysis for the Global Burden of Disease Study 2017. The Lancet 2018; 392(10159): 1684-735.





参考資料 2 : ICD10、GDB ラベル対応表

GDB code	ICD10
HIV/AIDS and sexually transmitted infections	A50-A58, A60-A60.9, A63-A63.8, B20-B24.9, B63, I98.0, K67.0-K67.2, M03.1, M73.0-M73.1
Respiratory infections and tuberculosis	A10-A14, A15-A19.9, A48.1, A70, B90-B90.9, B97.4-B97.6, H70-H70.9, J00-J02.8, J03-J03.8, J04-J04.2, J05-J05.1, J06.0-J06.8, J09-J15.8, J16-J16.9, J20-J21.9, J36-J36.0, K67.3, K93.0, M49.0, N74.1, P23.0-P23.4, P37.0, U04-U04.9, U84.3, J029, J039, J060, J069, J159, J170, J171, J172, J173, J178, J180, J181, J182, J188, J189, J22, K930, M490, M738, M900, P230, P235, P236, P238, P239
Enteric infections	A00-A00.9, A01.0-A09.9, A80-A80.9, R19.7, A010, M492
Neglected tropical diseases and malaria	A68-A68.9, A69.2-A69.9, A75-A75.9, A77-A79.9, A82-A82.9, A90-A96.9, A98-A98.8, B33.0-B33.1, B50-B53.8, B55.0, B56-B57.5, B60-B60.8, B65-B67.9, B69-B72.0, B74.3-B75, B77-B77.9, B83-B83.8, K93.1, P37.1, U06-U06.9, B54, B550, B551, B552, B559, B680, B681, B689, B73, B740, B741, B742, B760, B761, B768, B769, B780, B781, B787, B789, B79, B80, B810, B811, B812, B813, B814, B818, B820, B829, B830, P373, P374
Other infectious diseases	A20-A28.9, A32-A39.9, A48.2, A48.4-A48.5, A65-A65.0, A69-A69.1, A74, A74.8-A74.9, A81-A81.9, A83-A89.9, B00-B06.9, B10-B10.8, B15-B17.9, B19-B19.9, B25-B27.9, B29.4, B33, B33.3-B33.8, B47-B48.8, B91, B94.1-B94.2, B95-B95.5, F07.1, G00.0-G00.8, G03-G03.8, G04-G05.8, G14-G14.6, G21.3, I00, I02, I02.9, I98.1, K67.8, K75.3, K76.3, K77.0, M49.1, M89.6, P35-P35.9, P37, P37.2, P37.5-P37.9, U82-U84, U85-U89, Z16-Z16.3, A300, A301, A302, A303, A304, A305, A308, A309, A310, A311, A318, A319, A400, A401, A402, A403, A408, A409, A410, A411, A412, A413, A414, A415, A418, A419, A420, A421, A422, A427, A428, A429, A430, A431, A438, A439, A440, A441, A448, A449, A480, A483, A488, A490, A491, A492, A493, A498, A499, A590, A598, A599, A64, A710, A711, A719, A740, A99, B07, B080, B081, B082, B083, B084, B085, B088, B09, B300, B301, B302, B303, B308, B309, B340, B341, B342, B343, B344, B348, B349, B350, B351, B352, B353, B354, B355, B356, B358, B359, B360, B361, B362, B363, B368, B369, B370, B371, B372, B373, B374, B375, B376, B377, B378, B379, B380, B381, B382, B383, B384, B387, B388, B389, B390, B391, B392, B393, B394, B395, B399, B400, B401,

	B402, B403, B407, B408, B409, B410, B417, B418, B419, B420, B421, B427, B428, B429, B430, B431, B432, B438, B439, B440, B441, B442, B447, B448, B449, B450, B451, B452, B453, B457, B458, B459, B460, B461, B462, B463, B464, B465, B468, B469, B49, B580, B581, B582, B583, B588, B589, B59, B64, B850, B851, B852, B853, B854, B870, B871, B872, B873, B874, B878, B879, B880, B881, B882, B883, B888, B889, B89, B92, B940, B948, B949, B956, B957, B958, B960, B961, B962, B963, B964, B965, B966, B967, B968, B970, B971, B972, B973, B977, B978, B99, G020, G021, G028, G22, G530, G531, G630, G940, H061, H063, H620, H621, H622, H623, H940, H948, J998, M493, M901, M902, N512
Maternal and neonatal disorders	N96, N98-N98.9, O00-O07.9, O09-O16.9, O20-O26.9, O28-O36.9, O40-O48.1, O60-O77.9, O80-O92.7, O96-O98.6, O98.8-P04.2, P04.5-P05.9, P07-P15.9, P19-P22.9, P24-P29.9, P36-P36.9, P38-P39.9, P50-P61.9, P70-P70.1, P70.3-P72.9, P74-P78.9, P80-P81.9, P83-P84, P90-P94.9, P96, P96.3-P96.4, P96.8, O080, O081, O082, O083, O084, O085, O086, O087, O088, O089, O94, P969
Nutritional deficiencies	D50.1-D50.8, D51-D52.0, D52.8-D53.9, E00-E02, E40-E46.9, E51-E61.9, E63-E64.0, E64.2-E64.9, M12.1, E500, E501, E502, E503, E504, E505, E506, E507, E508, E509, E641, G634, H281
Neoplasms	C00-C13.9, C15-C25.9, C30-C34.9, C37-C38.8, C40-C41.9, C43-C45.9, C47-C54.9, C56-C57.8, C58-C58.0, C60-C63.8, C64-C67.9, C68.0-C68.8, C69-C75.8, C81-C86.6, C88-C96.9, D00.1-D00.2, D01.0-D01.3, D02.0-D02.3, D03-D06.9, D07.0-D07.2, D07.4-D07.5, D09.0, D09.2-D09.3, D09.8, D10.0-D10.7, D11-D12.9, D13.0-D13.7, D14.0-D14.3, D15-D16.9, D22-D24.9, D26.0-D27.9, D28.0-D28.1, D28.7, D29.0-D29.8, D30.0-D30.8, D31-D36, D36.1-D36.7, D37.1-D37.5, D38.0-D38.5, D39.1-D39.2, D39.8, D40.0-D40.8, D41.0-D41.8, D42-D43.9, D44.0-D44.8, D45-D47.9, D48.0-D48.6, D49.2-D49.4, D49.6, K62.0-K62.1, K63.5, N60-N60.9, N84.0-N84.1, N87-N87.9, C140, C142, C148, C260, C261, C268, C269, C390, C398, C399, C460, C461, C462, C463, C467, C468, C469, C55, C579, C639, C680, C689, C759, C760, C761, C762, C763, C764, C765, C767, C768, C770, C771, C772, C773, C774, C775, C778, C779, C780, C781, C782, C783, C784, C785, C786, C787, C788, C790, C791, C792, C793, C794, C795, C796, C797, C798, C80, C97, D000, D001, D002, D010, D011, D012, D013, D014, D015, D017, D019, D020, D024, D070, D073, D076, D090, D091, D097, D099, D100, D109, D130, D139, D140, D144, D170, D171, D172, D173, D174, D175, D176, D177, D179, D180, D181, D190, D191, D197, D199, D200, D201, D210, D211, D212, D213, D214, D215, D216, D219, D280,

D289, D290, D299, D300, D309, D360, D369, D370, D376, D377, D379, D380, D386, D390, D397, D399, D400, D409, D410, D419, D440, D449, D480, D487, D489, G533, G631, G941, M906, M907

Cardiovascular diseases B33.2, G45-G46.8, I01-I01.9, I02.0, I05-I09.9, I11-I11.9, I20-I25.9, I28-I28.8, I30-I31.1, I31.8-I37.8, I38-I41.9, I42.1-I42.8, I43-I43.9, I47-I48.9, I51.0-I51.4, I60-I63.9, I65-I66.9, I67.0-I67.3, I67.5-I67.6, I68.0-I68.2, I69.0-I69.3, I70.2-I70.8, I71-I73.9, I77-I83.9, I86-I89.0, I89.9, I98, K75.1, I00, I10, I150, I151, I152, I158, I159, I260, I269, I270, I271, I272, I278, I279, I289, I312, I313, I379, I420, I429, I440, I441, I442, I443, I444, I445, I446, I447, I450, I451, I452, I453, I454, I455, I456, I458, I459, I460, I461, I469, I490, I491, I492, I493, I494, I495, I498, I499, I500, I501, I509, I510, I515, I516, I517, I518, I519, I64, I670, I674, I678, I679, I690, I694, I698, I700, I701, I709, I740, I741, I742, I743, I744, I745, I748, I749, I950, I951, I958, I959, I988, I99

Chronic respiratory diseases D86-D86.2, D86.9, G47.3, J30-J35.9, J37-J39.9, J41-J46.9, J60-J63.8, J65-J68.9, J70, J70.8-J70.9, J82, J84-J84.9, J91-J92.9, J40, J47, J64, J690, J691, J698, J80, J850, J851, J852, J853, J860, J869, J90, J930, J931, J938, J939, J940, J941, J942, J948, J949, J960, J961, J969, J980, J981, J982, J983, J984, J985, J986, J988, J989

Digestive diseases B18-B18.9, I84-I85.9, I98.2, K20-K29.9, K31-K31.8, K35-K38.9, K40-K42.9, K44-K46.9, K50-K52.9, K55-K62, K62.2-K62.6, K62.8-K62.9, K64-K64.9, K66.8, K67, K68-K68.9, K70-K70.3, K71.7, K74-K74.9, K75.2, K75.4-K76.2, K76.4-K77, K77.8, K80-K83.9, K85-K86.9, K90-K90.9, K92.8, K93.8, M09.1, K000, K001, K002, K003, K004, K005, K006, K007, K008, K009, K010, K011, K020, K021, K022, K023, K024, K028, K029, K030, K031, K032, K033, K034, K035, K036, K037, K038, K039, K040, K041, K042, K043, K044, K045, K046, K047, K048, K049, K050, K051, K052, K053, K054, K055, K056, K060, K061, K062, K068, K069, K070, K071, K072, K073, K074, K075, K076, K078, K079, K080, K081, K082, K083, K088, K089, K090, K091, K092, K098, K099, K100, K101, K102, K103, K108, K109, K110, K111, K112, K113, K114, K115, K116, K117, K118, K119, K120, K121, K122, K130, K131, K132, K133, K134, K135, K136, K137, K140, K141, K142, K143, K144, K145, K146, K148, K149, K30, K319, K630, K631, K632, K633, K634, K638, K639, K650, K658, K659, K660, K661, K669, K704, K709, K710, K711, K712, K713, K714, K715, K716, K718, K719, K720, K721, K729, K730, K731, K732, K738, K739, K750, K870, K871, K920, K921, K922, K929

Neurological F00-F03.9, G10-G13.8, G20-G20.9, G23-G24, G24.1-G25.0, G25.2-G25.3,

disorders G25.5, G25.8-G26.0, G30-G31.1, G31.8-G31.9, G35-G37.9, G40-G41.9, G61-G61.9, G70-G72, G72.2-G73.7, G90-G90.9, G95-G95.9, M33-M33.9, G000, G009, G01, G060, G061, G062, G07, G08, G09, G210, G211, G212, G218, G219, G320, G328, G430, G431, G432, G433, G438, G439, G440, G441, G442, G443, G444, G448, G470, G471, G472, G474, G478, G479, G500, G501, G508, G509, G510, G511, G512, G513, G514, G518, G519, G520, G521, G522, G523, G527, G528, G529, G540, G541, G542, G543, G544, G545, G546, G547, G548, G549, G550, G551, G552, G553, G558, G560, G561, G562, G563, G564, G568, G569, G570, G571, G572, G573, G574, G575, G576, G578, G579, G580, G587, G588, G589, G598, G600, G601, G602, G603, G608, G609, G620, G621, G622, G628, G629, G64, G910, G911, G912, G913, G918, G919, G92, G930, G931, G932, G933, G934, G935, G936, G938, G939, G960, G961, G968, G969, M494

Mental disorders F24, F50.0-F50.5, F04, F050, F051, F058, F059, F060, F061, F062, F063, F064, F065, F066, F067, F068, F069, F070, F072, F078, F079, F09, F200, F201, F202, F203, F204, F205, F206, F208, F209, F21, F220, F228, F229, F230, F231, F232, F233, F238, F239, F250, F251, F252, F258, F259, F28, F29, F300, F301, F302, F308, F309, F310, F311, F312, F313, F314, F315, F316, F317, F318, F319, F320, F321, F322, F323, F328, F329, F330, F331, F332, F333, F334, F338, F339, F340, F341, F348, F349, F380, F381, F388, F39, F400, F401, F402, F408, F409, F410, F411, F412, F413, F418, F419, F420, F421, F422, F428, F429, F430, F431, F432, F438, F439, F440, F441, F442, F443, F444, F445, F446, F447, F448, F449, F450, F451, F452, F453, F454, F458, F459, F480, F481, F488, F489, F500, F508, F509, F510, F511, F512, F513, F514, F515, F518, F519, F520, F521, F522, F523, F524, F525, F526, F527, F528, F529, F530, F531, F538, F539, F54, F55, F59, F600, F601, F602, F603, F603a, F603b, F603c, F603d, F604, F605, F606, F607, F608, F609, F61, F620, F621, F628, F629, F630, F631, F632, F633, F638, F639, F640, F641, F642, F648, F649, F650, F651, F652, F653, F654, F655, F656, F658, F659, F660, F661, F662, F668, F669, F680, F681, F688, F69, F700, F701, F708, F709, F710, F711, F718, F719, F720, F721, F728, F729, F730, F731, F738, F739, F780, F781, F788, F789, F790, F791, F798, F799, F800, F801, F802, F803, F808, F809, F810, F811, F812, F813, F818, F819, F82, F83, F840, F841, F842, F843, F844, F845, F848, F849, F88, F89, F900, F901, F908, F909, F910, F911, F912, F913, F918, F919, F920, F928, F929, F930, F931, F932, F933, F938, F939, F940, F941, F942, F948, F949, F950, F951, F952, F958, F959, F980, F981, F982, F983, F984, F985, F986, F988, F989, F99

Substance use disorders F10-F16.9, F18-F19.9, G31.2, G72.1, P04.3-P04.4, P96.1, Q86.0, R78.0-R78.5, X45-X45.9, X65-X65.9, Y15-Y15.9, F170, F171, F172, F173, F174, F175, F176, F177, F178, F179, Y10, Y11, Y12, Y13, Y14

Diabetes and kidney diseases D63.1, E10-E11.9, I12-I13.9, N00-N08.8, N15.0, N18-N18.9, P70.2, Q61-Q62.8, E120, E121, E122, E123, E124, E125, E126, E127, E129, E130, E131, E132, E133, E134, E135, E136, E137, E139, E140, E141, E142, E143, E144, E145, E146, E147, E149, E15, E160, G590, G632, H280, M908, N130, N131, N132, N133, N134, N135, N136, N137, N138, N139, N170, N171, N172, N178, N179, N19, N288, N289, N321, N322, N328, N329, N330, N338, N350, N351, N358, N359, N393, N394, N398, N399, N40, N420, N421, N422, N428, N429, N430, N431, N432, N433, N434, N46, N47, N480, N481, N482, N483, N484, N485, N486, N488, N489, N500, N501, N508, N509, N61, N62, N63, N640, N641, N642, N643, N644, N645, N648, N649, N700, N701, N709, N710, N711, N719, N730, N731, N732, N733, N734, N735, N736, N738, N739, N740, N742, N743, N744, N748, N820, N821, N822, N823, N824, N825, N828, N829, N840, N842, N843, N848, N849, N850, N851, N852, N853, N854, N855, N856, N857, N858, N859, N86, N880, N881, N882, N883, N884, N888, N889, N890, N891, N892, N893, N894, N895, N896, N897, N898, N899, N900, N901, N902, N903, N904, N905, N906, N907, N908, N909, N910, N911, N912, N913, N914, N915, N920, N921, N922, N923, N924, N925, N926, N930, N938, N939, N940, N941, N942, N943, N944, N945, N946, N948, N949, N950, N951, N952, N953, N958, N959, N970, N971, N972, N973, N974, N978, N979

Skin and subcutaneous diseases A46-A46.0, A66-A67.9, B86, D86.3, I89.1-I89.8, L00-L05.9, L08-L08.9, L10-L14.0, L51-L51.9, L88-L89.9, L97-L98.4, M72.5-M72.6, L200, L208, L209, L210, L211, L218, L219, L22, L230, L231, L232, L233, L234, L235, L236, L237, L238, L239, L240, L241, L242, L243, L244, L245, L246, L247, L248, L249, L250, L251, L252, L253, L254, L255, L258, L259, L26, L270, L271, L272, L278, L279, L280, L281, L282, L290, L291, L292, L293, L298, L299, L300, L301, L302, L303, L304, L305, L308, L309, L400, L401, L402, L403, L404, L405, L408, L409, L410, L411, L412, L413, L414, L415, L418, L419, L42, L430, L431, L432, L433, L438, L439, L440, L441, L442, L443, L444, L448, L449, L45, L500, L501, L502, L503, L504, L505, L506, L508, L509, L52, L530, L531, L532, L533, L538, L539, L540, L548, L560, L561, L562, L564, L570, L571, L572, L573, L574, L575, L578, L579, L590, L598, L599, L600, L601, L602, L603, L604, L605, L608, L609, L630, L631, L632, L638, L639, L640, L648, L649, L650, L651, L652, L658, L659, L660, L661,

L662, L663, L664, L668, L669, L670, L671, L678, L679, L680, L681, L682, L683, L688, L689, L700, L701, L702, L703, L704, L705, L708, L709, L710, L711, L718, L719, L720, L721, L722, L728, L729, L730, L731, L732, L738, L739, L740, L741, L742, L743, L744, L748, L749, L750, L751, L752, L758, L759, L80, L810, L811, L812, L813, L814, L815, L816, L817, L818, L819, L82, L83, L84, L850, L851, L852, L853, L858, L859, L86, L870, L871, L872, L878, L879, L900, L901, L902, L903, L904, L905, L906, L908, L909, L910, L918, L919, L920, L921, L922, L923, L928, L929, L940, L941, L942, L943, L944, L945, L946, L948, L949, L950, L951, L958, L959, L985, L986, L988, L989, L990, L998

Sense organ diseases	H00-H61, H68-H93, H000, H001, H010, H011, H018, H019, H020, H021, H022, H023, H024, H025, H026, H027, H028, H029, H030, H031, H038, H040, H041, H042, H043, H044, H045, H046, H048, H049, H050, H052, H053, H054, H055, H058, H059, H062, H100, H101, H102, H103, H104, H105, H108, H109, H110, H111, H112, H113, H114, H118, H119, H130, H131, H132, H133, H138, H150, H151, H158, H159, H160, H161, H162, H163, H164, H168, H169, H170, H171, H178, H179, H180, H181, H182, H183, H184, H185, H186, H187, H188, H189, H190, H191, H192, H193, H198, H200, H201, H202, H208, H209, H210, H211, H212, H213, H214, H215, H218, H219, H220, H221, H228, H250, H251, H252, H258, H259, H260, H261, H262, H263, H264, H268, H269, H270, H271, H278, H279, H300, H301, H302, H308, H309, H310, H311, H312, H313, H314, H318, H319, H320, H328, H330, H331, H332, H333, H334, H335, H340, H341, H342, H348, H349, H350, H351, H352, H353, H354, H355, H356, H357, H358, H359, H360, H368, H400, H401, H402, H403, H404, H405, H406, H408, H409, H420, H428, H430, H431, H432, H433, H438, H439, H440, H441, H442, H443, H444, H445, H446, H447, H448, H449, H46, H470, H471, H472, H473, H474, H475, H476, H477, H480, H481, H488, H490, H491, H492, H493, H494, H498, H499, H500, H501, H502, H503, H504, H505, H506, H508, H509, H510, H511, H512, H518, H519, H520, H521, H522, H523, H524, H525, H526, H527, H530, H531, H532, H533, H534, H535, H536, H538, H539, H540, H541, H542, H543, H544, H545, H546, H547, H55, H570, H571, H578, H579, H580, H581, H588, H590, H598, H599, H600, H601, H602, H603, H604, H605, H608, H609, H610, H611, H612, H613, H618, H619, H650, H651, H652, H653, H654, H659, H660, H661, H662, H663, H664, H669, H670, H671, H678, H680, H681, H690, H698, H699, H71, H720, H721, H722, H728, H729, H730, H731, H738, H739, H740, H741, H742, H743, H744, H748, H749, H750, H758, H800,
----------------------	--

H801, H802, H808, H809, H810, H811, H812, H813, H814, H818, H819, H82, H830, H831, H832, H833, H838, H839, H900, H901, H902, H903, H904, H905, H906, H907, H908, H910, H911, H912, H913, H918, H919, H920, H921, H922, H930, H931, H932, H933, H938, H939, H950, H951, H958, H959

Musculoskeletal disorders

I27.1, I67.7, L93-L93.2, M00-M03.0, M03.2-M03.6, M05-M09.0, M09.2-M09.8, M30-M32.9, M34-M36.8, M40-M43.1, M65-M65.0, M71.0-M71.1, M80-M82.8, M86.3-M86.4, M87-M87.0, M88-M89.0, M89.5, M89.7-M89.9, G636, J990, J991, M100, M101, M102, M103, M104, M109, M110, M111, M112, M118, M119, M120, M122, M123, M124, M125, M128, M130, M131, M138, M139, M140, M141, M142, M143, M144, M145, M146, M148, M15-, M150, M151, M152, M153, M154, M158, M159, M160, M161, M162, M163, M164, M165, M166, M167, M169, M170, M171, M172, M173, M174, M175, M179, M180, M181, M182, M183, M184, M185, M189, M190, M191, M192, M198, M199, M20-, M200, M201, M202, M203, M204, M205, M206, M210, M211, M212, M213, M214, M215, M216, M217, M218, M219, M220, M221, M222, M223, M224, M228, M229, M230, M231, M232, M233, M234, M235, M236, M238, M239, M240, M241, M242, M243, M244, M245, M246, M247, M248, M249, M250, M251, M252, M253, M254, M255, M256, M257, M258, M259, M432, M433, M434, M435, M436, M438, M439, M45-, M460, M461, M462, M463, M464, M465, M468, M469, M470, M471, M472, M478, M479, M480, M481, M482, M483, M484, M485, M488, M489, M50-, M500, M501, M502, M503, M508, M509, M510, M511, M512, M513, M514, M518, M519, M530, M531, M532, M533, M538, M539, M540, M541, M542, M543, M544, M545, M546, M548, M549, M60-, M600, M601, M602, M608, M609, M610, M611, M612, M613, M614, M615, M619, M620, M621, M622, M623, M624, M625, M626, M628, M629, M630, M631, M632, M633, M638, M651, M652, M653, M654, M658, M659, M660, M661, M662, M663, M664, M665, M670, M671, M672, M673, M674, M678, M679, M680, M688, M70-, M700, M701, M702, M703, M704, M705, M706, M707, M708, M709, M710, M712, M713, M714, M715, M718, M719, M720, M721, M722, M724, M728, M729, M730, M750, M751, M752, M753, M754, M755, M758, M759, M760, M761, M762, M763, M764, M765, M766, M767, M768, M769, M770, M771, M772, M773, M774, M775, M778, M779, M790, M791, M792, M793, M794, M795, M796, M798, M799, M830, M831, M832, M833, M834, M835, M838, M839, M840, M841, M842, M843, M844, M848, M849, M850, M851, M852, M853, M854, M855, M856, M858, M859, M86-, M860, M861, M862, M865, M866, M868, M869, M872, M873, M878, M879, M891, M892, M893, M894, M91-, M910,

M911, M912, M913, M918, M919, M920, M921, M922, M923, M924, M925, M926, M927, M928, M929, M930, M931, M932, M938, M939, M940, M941, M942, M943, M948, M949, M950, M951, M952, M953, M954, M955, M958, M959, M960, M961, M962, M963, M964, M965, M966, M968, M969, M990, M991, M992, M993, M994, M995, M996, M997, M998, M999

Other non-communicable diseases D25-D26, D28.2, D52.1, D55-D58.9, D59.0-D59.3, D59.5-D59.6, D60-D61.9, D64.0, D66-D67, D68.0-D69.8, D70-D75.8, D76-D78.8, D86.8, D89-D89.3, E03-E07.1, E09-E09.9, E15.0, E16.0-E16.9, E20-E34.8, E36-E36.8, E65-E68, E70-E85.2, E88-E89.9, G24.0, G25.1, G25.4, G25.6-G25.7, G72.0, G93.7, G97-G97.9, I95.2-I95.3, I97-I97.9, I98.9, J70.0-J70.5, J95-J95.9, K43-K43.9, K62.7, K91-K91.9, K94-K95.8, M87.1, N10-N12.9, N14-N15, N15.1-N16.8, N20-N23.0, N25-N28.1, N29-N32.0, N32.3-N32.4, N34-N34.3, N36-N36.9, N39-N39.2, N41-N41.9, N44-N44.0, N45-N45.9, N49-N49.9, N65-N65.1, N72-N72.0, N75-N77.8, N80-N81.9, N83-N83.9, N99-N99.9, P96.0, P96.2, P96.5, Q00-Q07.9, Q10.4-Q18.9, Q20-Q28.9, Q30-Q36, Q37-Q45.9, Q50-Q60.6, Q63-Q86, Q86.1-Q87.8, Q89-Q89.8, Q90-Q93.9, Q95-Q99.8, R50.2, R95-R95.9, D500, D509, D590, D594, D598, D599, D62, D630, D638, D640, D641, D642, D643, D644, D648, D649, D65, D680, D699, D759, D800, D801, D802, D803, D804, D805, D806, D807, D808, D809, D810, D811, D812, D813, D814, D815, D816, D817, D818, D819, D820, D821, D822, D823, D824, D828, D829, D830, D831, D832, D838, D839, D840, D841, D848, D849, D898, D899, E078, E079, E349, E350, E351, E358, E853, E854, E858, E859, E86, E870, E871, E872, E873, E874, E875, E876, E878, G532, G633, G635, I680, Q100, Q101, Q102, Q103, Q360, Q361, Q369, Q899, Q999

Transport injuries V00-V86.9, V87.2-V87.3, V88.2-V88.3, V90-V98.8, V870, V871, V874, V875, V876, V877, V878, V879, V880, V881, V884, V885, V886, V887, V888, V889, V890, V891, V892, V893, V899, V99, Y850, Y859

Unintentional injuries L55-L55.9, L56.3, L56.8-L56.9, L58-L58.9, W00-W46.2, W49-W62.9, W64-W70.9, W73-W75.9, W77-W81.9, W83-W94.9, W97.9, W99-X06.9, X08-X39.9, X46-X48.9, X50-X54.9, X57-X58.9, Y40-Y84.9, Y88-Y88.3, S000, S001, S002, S003, S004, S005, S007, S008, S009, S010, S011, S012, S013, S014, S015, S017, S018, S019, S020, S021, S022, S023, S024, S025, S026, S027, S028, S029, S030, S031, S032, S033, S034, S035, S040, S041, S042, S043, S044, S045, S046, S047, S048, S049, S050, S051, S052, S053, S054, S055, S056, S057, S058, S059, S060, S061, S062, S063, S064, S065, S066, S067, S068, S069, S070, S071, S078, S079, S080, S081, S088, S089, S090, S091, S092, S097, S098, S099, S100, S101, S107, S108, S109, S110, S111,

S112, S117, S118, S119, S120, S121, S122, S127, S128, S129, S130, S131, S132, S133, S134, S135, S136, S140, S141, S142, S143, S144, S145, S146, S150, S151, S152, S153, S157, S158, S159, S16, S170, S178, S179, S18, S197, S198, S199, S200, S201, S202, S203, S204, S207, S208, S210, S211, S212, S217, S218, S219, S220, S221, S222, S223, S224, S225, S228, S229, S230, S231, S232, S233, S234, S235, S240, S241, S242, S243, S244, S245, S246, S250, S251, S252, S253, S254, S255, S257, S258, S259, S260, S268, S269, S270, S271, S272, S273, S274, S275, S276, S277, S278, S279, S280, S281, S290, S297, S298, S299, S300, S301, S302, S307, S308, S309, S310, S311, S312, S313, S314, S315, S317, S318, S320, S321, S322, S323, S324, S325, S327, S328, S330, S331, S332, S333, S334, S335, S336, S337, S340, S341, S342, S343, S344, S345, S346, S348, S350, S351, S352, S353, S354, S355, S357, S358, S359, S360, S361, S362, S363, S364, S365, S366, S367, S368, S369, S370, S371, S372, S373, S374, S375, S376, S377, S378, S379, S380, S381, S382, S383, S390, S396, S397, S398, S399, S400, S407, S408, S409, S410, S411, S417, S418, S420, S421, S422, S423, S424, S427, S428, S429, S430, S431, S432, S433, S434, S435, S436, S437, S440, S441, S442, S443, S444, S445, S447, S448, S449, S450, S451, S452, S453, S457, S458, S459, S460, S461, S462, S463, S467, S468, S469, S47, S480, S481, S489, S497, S498, S499, S500, S501, S507, S508, S509, S510, S517, S518, S519, S520, S521, S522, S523, S524, S525, S526, S527, S528, S529, S530, S531, S532, S533, S534, S540, S541, S542, S543, S547, S548, S549, S550, S551, S552, S557, S558, S559, S560, S561, S562, S563, S564, S565, S567, S568, S570, S578, S579, S580, S581, S589, S597, S598, S599, S600, S601, S602, S607, S608, S609, S610, S611, S617, S618, S619, S620, S621, S622, S623, S624, S625, S626, S627, S628, S630, S631, S632, S633, S634, S635, S636, S637, S640, S641, S642, S643, S644, S647, S648, S649, S650, S651, S652, S653, S654, S655, S657, S658, S659, S660, S661, S662, S663, S664, S665, S666, S667, S668, S669, S670, S678, S680, S681, S682, S683, S684, S688, S689, S697, S698, S699, S700, S701, S707, S708, S709, S710, S711, S717, S718, S720, S721, S722, S723, S724, S727, S728, S729, S730, S731, S740, S741, S742, S747, S748, S749, S750, S751, S752, S757, S758, S759, S760, S761, S762, S763, S764, S767, S770, S771, S772, S780, S781, S789, S797, S798, S799, S800, S801, S807, S808, S809, S810, S817, S818, S819, S820, S821, S822, S823, S824, S825, S826, S827, S828, S829, S830, S831, S832, S833, S834, S835, S836, S837, S840, S841, S842, S847, S848, S849, S850, S851, S852, S853, S854, S855, S857, S858, S859, S860, S861, S862, S863, S867, S868, S869, S870, S878, S880, S881, S889, S897, S898, S899, S900,

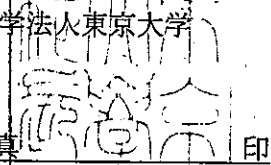
S901, S902, S903, S907, S908, S909, S910, S911, S912, S913, S917, S920, S921, S922, S923, S924, S925, S927, S929, S930, S931, S932, S933, S934, S935, S936, S940, S941, S942, S943, S947, S948, S949, S950, S951, S952, S957, S958, S959, S960, S961, S962, S967, S968, S969, S970, S971, S978, S980, S981, S982, S983, S984, S997, S998, S999, T000, T001, T002, T003, T006, T008, T009, T010, T011, T012, T013, T016, T018, T019, T020, T021, T022, T023, T024, T025, T026, T027, T028, T029, T030, T031, T032, T033, T034, T038, T039, T040, T041, T042, T043, T044, T047, T048, T049, T050, T051, T052, T053, T054, T055, T056, T058, T059, T060, T061, T062, T063, T064, T065, T068, T07, T08, T090, T091, T092, T093, T094, T095, T096, T098, T099, T10, T110, T111, T112, T113, T114, T115, T116, T118, T119, T12, T130, T131, T132, T133, T134, T135, T136, T138, T139, T140, T141, T142, T143, T144, T145, T146, T147, T148, T149, T150, T151, T158, T159, T16, T170, T171, T172, T173, T174, T175, T178, T179, T180, T181, T182, T183, T184, T185, T188, T189, T190, T191, T192, T193, T198, T199, T200, T201, T202, T203, T204, T205, T206, T207, T210, T211, T212, T213, T214, T215, T216, T217, T220, T221, T222, T223, T224, T225, T226, T227, T230, T231, T232, T233, T234, T235, T236, T237, T240, T241, T242, T243, T244, T245, T246, T247, T250, T251, T252, T253, T254, T255, T256, T257, T260, T261, T262, T263, T264, T265, T266, T267, T268, T269, T270, T271, T272, T273, T274, T275, T276, T277, T280, T281, T282, T283, T284, T285, T286, T287, T288, T289, T290, T291, T292, T293, T294, T295, T296, T297, T300, T301, T302, T303, T304, T305, T306, T307, T310, T311, T312, T313, T314, T315, T316, T317, T318, T319, T320, T321, T322, T323, T324, T325, T326, T327, T328, T329, T330, T331, T332, T333, T334, T335, T336, T337, T338, T339, T340, T341, T342, T343, T344, T345, T346, T347, T348, T349, T350, T351, T352, T353, T354, T355, T356, T357, T360, T361, T362, T363, T364, T365, T366, T367, T368, T369, T370, T371, T372, T373, T374, T375, T378, T379, T380, T381, T382, T383, T384, T385, T386, T387, T388, T389, T390, T391, T392, T393, T394, T398, T399, T400, T401, T402, T403, T404, T405, T406, T407, T408, T409, T410, T411, T412, T413, T414, T415, T420, T421, T422, T423, T424, T425, T426, T427, T428, T430, T431, T432, T433, T434, T435, T436, T438, T439, T440, T441, T442, T443, T444, T445, T446, T447, T448, T449, T450, T451, T452, T453, T454, T455, T456, T457, T458, T459, T460, T461, T462, T463, T464, T465, T466, T467, T468, T469, T470, T471, T472, T473, T474, T475, T476, T477, T478, T479, T480, T481, T482, T483, T484, T485, T486, T487, T490, T491, T492, T493, T494, T495, T496, T497, T498, T499, T500, T501, T502, T503, T504, T505, T506, T507, T508, T509,

T510, T511, T512, T513, T518, T519, T520, T521, T522, T523, T524, T528, T529, T530, T531, T532, T533, T534, T535, T536, T537, T539, T540, T541, T542, T543, T549, T55, T560, T561, T562, T563, T564, T565, T566, T567, T568, T569, T570, T571, T572, T573, T578, T579, T58, T590, T591, T592, T593, T594, T595, T596, T597, T598, T599, T600, T601, T602, T603, T604, T608, T609, T610, T611, T612, T618, T619, T620, T621, T622, T628, T629, T630, T631, T632, T633, T634, T635, T636, T638, T639, T64, T650, T651, T652, T653, T654, T655, T656, T658, T659, T66, T670, T671, T672, T673, T674, T675, T676, T677, T678, T679, T68, T690, T691, T698, T699, T700, T701, T702, T703, T704, T708, T709, T71, T730, T731, T732, T733, T738, T739, T740, T741, T742, T743, T748, T749, T750, T751, T752, T753, T754, T758, T780, T781, T782, T783, T784, T788, T789, T790, T791, T792, T793, T794, T795, T796, T797, T798, T799, T800, T801, T802, T803, T804, T805, T806, T808, T809, T810, T811, T812, T813, T814, T815, T816, T817, T818, T819, T820, T821, T822, T823, T824, T825, T826, T827, T828, T829, T830, T831, T832, T833, T834, T835, T836, T838, T839, T840, T841, T842, T843, T844, T845, T846, T847, T848, T849, T850, T851, T852, T853, T854, T855, T856, T857, T858, T859, T860, T861, T862, T863, T864, T868, T869, T870, T871, T872, T873, T874, T875, T876, T880, T881, T882, T883, T884, T885, T886, T887, T888, T889, T900, T901, T902, T903, T904, T905, T908, T909, T910, T911, T912, T913, T914, T915, T918, T919, T920, T921, T922, T923, T924, T925, T926, T928, T929, T930, T931, T932, T933, T934, T935, T936, T938, T939, T940, T941, T950, T951, T952, T953, T954, T958, T959, T96, T97, T980, T981, T982, T983, W76, X40, X41, X42, X43, X44, X49, X59, Y86

Self-harm and interpersonal violence U00-U03, X60-X64.9, X66-Y08.9, Y35-Y38.9, Y87.0-Y87.1, Y89.0-Y89.1, Y09, Y870

2019年 5月 13日

厚生労働大臣
 (国立医薬品食品衛生研究所長) 殿
 (国立保健医療科学院長)

機関名 国立大学法人東京大学
 所属研究機関長 職名 総長
 氏名 五神 真 

次の職員の平成30年度厚生労働科学研究費の調査研究における、倫理審査状況及び利益相反等の管理については以下のとおりです。

1. 研究事業名 厚生労働科学特別研究事業
2. 研究課題名 我が国の疾病負担に基づく医薬品、医療機器及び医療技術の開発等の資源配分の確立のための研究
3. 研究者名 (所属部局・職名) 東京大学大学院医学系研究科・教授
 (氏名・フリガナ) 渋谷健司 シブヤケンジ
4. 倫理審査の状況

	該当性の有無		左記で該当がある場合のみ記入 (※1)		
	有	無	審査済み	審査した機関	未審査 (※2)
ヒトゲノム・遺伝子解析研究に関する倫理指針	<input type="checkbox"/>	<input checked="" type="checkbox"/>	<input type="checkbox"/>		<input type="checkbox"/>
遺伝子治療等臨床研究に関する指針	<input type="checkbox"/>	<input checked="" type="checkbox"/>	<input type="checkbox"/>		<input type="checkbox"/>
人を対象とする医学系研究に関する倫理指針 (※3)	<input type="checkbox"/>	<input checked="" type="checkbox"/>	<input type="checkbox"/>		<input type="checkbox"/>
厚生労働省の所管する実施機関における動物実験等の実施に関する基本指針	<input type="checkbox"/>	<input checked="" type="checkbox"/>	<input type="checkbox"/>		<input type="checkbox"/>
その他、該当する倫理指針があれば記入すること (指針の名称:)	<input type="checkbox"/>	<input checked="" type="checkbox"/>	<input type="checkbox"/>		<input type="checkbox"/>

(※1) 当該研究者が当該研究を実施するに当たり遵守すべき倫理指針に関する倫理委員会の審査が済んでいる場合は、「審査済み」にチェックし一部若しくは全部の審査が完了していない場合は、「未審査」にチェックすること。

その他 (特記事項)

(※2) 未審査の場合は、その理由を記載すること。

(※3) 廃止前の「疫学研究に関する倫理指針」や「臨床研究に関する倫理指針」に準拠する場合は、当該項目に記入すること。

5. 厚生労働分野の研究活動における不正行為への対応について

研究倫理教育の受講状況	受講 <input checked="" type="checkbox"/> 未受講 <input type="checkbox"/>
-------------	---

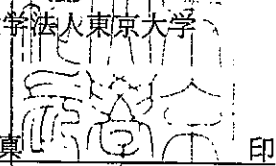
6. 利益相反の管理

当研究機関におけるCOIの管理に関する規定の策定	有 <input checked="" type="checkbox"/> 無 <input type="checkbox"/> (無の場合はその理由:)
当研究機関におけるCOI委員会設置の有無	有 <input checked="" type="checkbox"/> 無 <input type="checkbox"/> (無の場合は委託先機関:)
当研究に係るCOIについての報告・審査の有無	有 <input checked="" type="checkbox"/> 無 <input type="checkbox"/> (無の場合はその理由:)
当研究に係るCOIについての指導・管理の有無	有 <input type="checkbox"/> 無 <input checked="" type="checkbox"/> (有の場合はその内容:)

(留意事項) ・該当する□にチェックを入れること。
 ・分担研究者の所属する機関の長も作成すること。

2019年 5月 13日

厚生労働大臣
(国立医薬品食品衛生研究所長) 殿
(国立保健医療科学院長)

機関名 国立大学法人東京大学
所属研究機関長 職名 総長
氏名 五神 真  印

次の職員の平成30年度厚生労働科学研究費の調査研究における、倫理審査状況及び利益相反等の管理については以下のとおりです。

- 研究事業名 厚生労働科学特別研究事業
- 研究課題名 我が国の疾病負担に基づく医薬品、医療機器及び医療技術の開発等の資源配分の確立のための研究
- 研究者名 (所属部局・職名) 東京大学大学院医学系研究科・助教
(氏名・フリガナ) 野村周平 ノムラシュウヘイ
- 倫理審査の状況

	該当性の有無		左記で該当がある場合のみ記入 (※1)		
	有	無	審査済み	審査した機関	未審査 (※2)
ヒトゲノム・遺伝子解析研究に関する倫理指針	<input type="checkbox"/>	<input checked="" type="checkbox"/>	<input type="checkbox"/>		<input type="checkbox"/>
遺伝子治療等臨床研究に関する指針	<input type="checkbox"/>	<input checked="" type="checkbox"/>	<input type="checkbox"/>		<input type="checkbox"/>
人を対象とする医学系研究に関する倫理指針 (※3)	<input type="checkbox"/>	<input checked="" type="checkbox"/>	<input type="checkbox"/>		<input type="checkbox"/>
厚生労働省の所管する実施機関における動物実験等の実施に関する基本指針	<input type="checkbox"/>	<input checked="" type="checkbox"/>	<input type="checkbox"/>		<input type="checkbox"/>
その他、該当する倫理指針があれば記入すること (指針の名称:)	<input type="checkbox"/>	<input checked="" type="checkbox"/>	<input type="checkbox"/>		<input type="checkbox"/>

(※1) 当該研究者が当該研究を実施するに当たり遵守すべき倫理指針に関する倫理委員会の審査が済んでいる場合は、「審査済み」にチェックし一部若しくは全部の審査が完了していない場合は、「未審査」にチェックすること。

その他 (特記事項)

(※2) 未審査に場合は、その理由を記載すること。

(※3) 廃止前の「疫学研究に関する倫理指針」や「臨床研究に関する倫理指針」に準拠する場合は、当該項目に記入すること。

5. 厚生労働分野の研究活動における不正行為への対応について

研究倫理教育の受講状況	受講 <input checked="" type="checkbox"/> 未受講 <input type="checkbox"/>
-------------	---

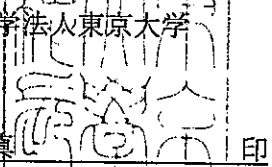
6. 利益相反の管理

当研究機関におけるCOIの管理に関する規定の策定	有 <input checked="" type="checkbox"/> 無 <input type="checkbox"/> (無の場合はその理由:)
当研究機関におけるCOI委員会設置の有無	有 <input checked="" type="checkbox"/> 無 <input type="checkbox"/> (無の場合は委託先機関:)
当研究に係るCOIについての報告・審査の有無	有 <input checked="" type="checkbox"/> 無 <input type="checkbox"/> (無の場合はその理由:)
当研究に係るCOIについての指導・管理の有無	有 <input type="checkbox"/> 無 <input checked="" type="checkbox"/> (有の場合はその内容:)

(留意事項) ・該当する口にチェックを入れること。
・分担研究者の所属する機関の長も作成すること。

2019年 5月 13日

厚生労働大臣
(国立医薬品食品衛生研究所長) 殿
(国立保健医療科学院長)

機関名 国立大学法人東京大学
所属研究機関長 職名 総長
氏名 五神 真  印

次の職員の平成30年度厚生労働科学研究費の調査研究における、倫理審査状況及び利益相反等の管理については以下のとおりです。

1. 研究事業名 厚生労働科学特別研究事業
2. 研究課題名 我が国の疾病負担に基づく医薬品、医療機器及び医療技術の開発等の資源配分の確立のための研究
3. 研究者名 (所属部局・職名) 東京大学大学院医学系研究科・特任助教
(氏名・フリガナ) ミジャーヌール ラハマン
4. 倫理審査の状況

	該当性の有無		左記で該当がある場合のみ記入 (※1)		
	有	無	審査済み	審査した機関	未審査 (※2)
ヒトゲノム・遺伝子解析研究に関する倫理指針	<input type="checkbox"/>	<input checked="" type="checkbox"/>	<input type="checkbox"/>		<input type="checkbox"/>
遺伝子治療等臨床研究に関する指針	<input type="checkbox"/>	<input checked="" type="checkbox"/>	<input type="checkbox"/>		<input type="checkbox"/>
人を対象とする医学系研究に関する倫理指針 (※3)	<input type="checkbox"/>	<input checked="" type="checkbox"/>	<input type="checkbox"/>		<input type="checkbox"/>
厚生労働省の所管する実施機関における動物実験等の実施に関する基本指針	<input type="checkbox"/>	<input checked="" type="checkbox"/>	<input type="checkbox"/>		<input type="checkbox"/>
その他、該当する倫理指針があれば記入すること (指針の名称:)	<input type="checkbox"/>	<input checked="" type="checkbox"/>	<input type="checkbox"/>		<input type="checkbox"/>

(※1) 当該研究者が当該研究を実施するに当たり遵守すべき倫理指針に関する倫理委員会の審査が済んでいる場合は、「審査済み」にチェックし一部若しくは全部の審査が完了していない場合は、「未審査」にチェックすること。

その他 (特記事項)

(※2) 未審査に場合は、その理由を記載すること。

(※3) 廃止前の「疫学研究に関する倫理指針」や「臨床研究に関する倫理指針」に準拠する場合は、当該項目に記入すること。

5. 厚生労働分野の研究活動における不正行為への対応について

研究倫理教育の受講状況	受講 <input checked="" type="checkbox"/> 未受講 <input type="checkbox"/>
-------------	---

6. 利益相反の管理

当研究機関におけるCOIの管理に関する規定の策定	有 <input checked="" type="checkbox"/> 無 <input type="checkbox"/> (無の場合はその理由:)
当研究機関におけるCOI委員会設置の有無	有 <input checked="" type="checkbox"/> 無 <input type="checkbox"/> (無の場合は委託先機関:)
当研究に係るCOIについての報告・審査の有無	有 <input checked="" type="checkbox"/> 無 <input type="checkbox"/> (無の場合はその理由:)
当研究に係るCOIについての指導・管理の有無	有 <input type="checkbox"/> 無 <input checked="" type="checkbox"/> (有の場合はその内容:)

(留意事項) ・該当する口をチェックを入れること。
・分担研究者の所属する機関の長も作成すること。